

В.В. Белов, И.Ю. Макушкина

## О МЕТОДИКЕ ИЗМЕРЕНИЯ ЛИНЕЙНО-СИСТЕМНЫХ ИМПУЛЬСНЫХ РЕАКЦИЙ КАНАЛА ВИДЕНИЯ

Рассматриваются импульсные переходные характеристики линейных систем видения, полученные при решении уравнения переноса методом Монте-Карло. Исследуется влияние рассеивающих свойств мутных сред на крылья функций размытия точки. В области «больших» значений аргумента предлагается однопараметрическая аппроксимация этой функции. На основе некоторых свойств импульсных реакций предлагается методика измерения функций размытия точки в экспериментах.

Лабораторное моделирование, основанное на принципах подобия, широко применяется в различных областях науки. В теории распространения коротковолнового оптического излучения через рассеивающие среды лабораторные эксперименты успешно осуществляются для оценки границ применимости закона Бугера–Беера, для исследования теплового самовоздействия лазерных пучков, для анализа пространственно-угловых и временных распределений фона многократного рассеяния, поляризационной структуры помехи обратного рассеяния и т.д.

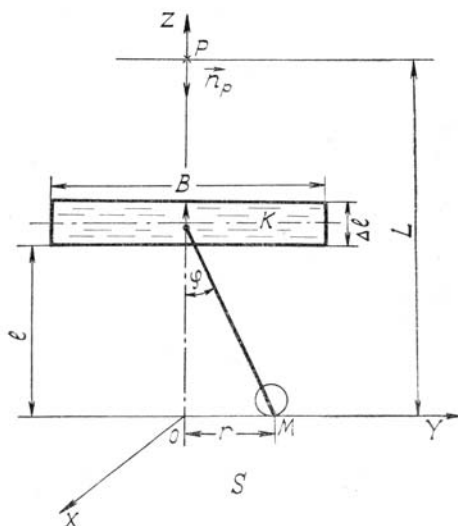


Рис. 1. Геометрическая схема определения импульсных реакций в лабораторных и численных экспериментах

В теории видения можно выделить эксперименты по наблюдению через рассеивающие среды тест-объектов (типа равноярких белых или цветных дисков Чиаальди и Секки, фрагментов светящихся текстов и т.п.) и исследованию специальных системных характеристик (таких, как функции размытия точки (ФРТ), линии (ФРЛ) и т.п.). Эти характеристики, так же как и оптические передаточные функции (ОПФ), широко используются при анализе линейных оптических систем и могут быть измерены по известным методикам. Так, например, ФРТ оптических систем является изображением точечного светящегося объекта, т.е. соответствует распределению освещенности (в случае некогерентного излучения) в плоскости наблюдения. Для функции рассеяния точки оптических систем характерно то, что угловые размеры  $\phi_0$  пятна изображения (из центра выходного зрачка)  $\phi_0 \ll 1^\circ$ . В теории видения в мутных средах (таких, как атмосферный аэрозоль, гидрозоль), как правило, характерный угловой размер ФРТ  $\phi_0 \gg 1^\circ$ . Поэтому функция размытия точки  $h(x, y)$  не всегда соответствует изображению точечного источника и возникают сложности измерения этих характеристик в экспериментах. Их поясняет рис. 1, где изображена геометрическая схема типичного лабораторного эксперимента по измерению ФРТ линейной системы видения, образованной предметной плоскостью (S), рассеивающей средой (K) и приемником (P). Рассеивающая среда заполняет кювету [1] или непосредственно помещается между приемником и точечным источником, в случае, например, среды типа фторопластовой пленки [2], молочного стекла [1] и т.п.

Измерение ФРТ в общем случае должно происходить по следующей схеме: фиксируется направление  $\vec{n}_p$  визирования приемника с малым углом поля зрения; точечный источник M перемещается в

плоскости  $S$ , измеряется яркость пропущенного в направлении приемника излучения как функции координат источника в плоскости  $S$  (возможен вариант фиксации положения точечного источника и перемещения приемника с сохранением направления визирования  $\vec{n}_p$ ). Если в экспериментах  $l \rightarrow 0$  (рис. 1), то требуемые для измерения крыльев ФРТ размеры  $B$  кюветы (или образца рассеивающей среды) и расстояния  $R$ , где  $h(x, y) \neq 0$ , лежат в практически осуществимых пределах. При эти требования, как правило, выполнить невозможно, если не уменьшать трассу наблюдения  $L$ . Это неизбежно ведет к существенному влиянию на ФРТ пятен рассеяния, обусловленных конечностью глубины резкости оптических систем [3], и не позволяет в полной мере воспользоваться принципом подобия для обобщения результатов экспериментальных исследований. Именно поэтому в настоящее время в лабораторных экспериментах измеряются усеченные импульсные реакции систем видения, что, если не принять специальных мер, ведет к неточностям определения ОПФ.

Рассмотрим способы устранения в лабораторных экспериментах ошибок усечения, следующих из свойств функций размытия точки линейных систем видения. Эти свойства проиллюстрируем на примерах результатов серии численных экспериментов, выполненных методом Монте-Карло. Они проведены для геометрической схемы, изображенной на рис. 1 ( $B \rightarrow \infty$ ), для ортотропной поверхности наблюдения и оптических характеристик рассеивающей среды  $K$ , подобных аэрозольной дымке  $H$ , облаку  $C.1$  и развитому туману (длина волны  $\lambda = 0,55$  мкм). Методом Монте-Карло (с помощью алгоритма, построенного по сопряженной схеме с применением метода локального счета [4]) рассчитывались функции размытия точки  $h(r)$  с учетом многократного рассеяния при  $l \rightarrow 0$ , средних значениях  $0 < l < L - \Delta l$  и  $l \rightarrow L - \Delta l$ . Оптическая толщина рассеивающего слоя варьировалась в диапазоне  $0,5 \div 12$ . Рассеивающие свойства модельных сред соответствовали средам со «слабой» (дымка  $H$ ), «средней» (облако) и «сильной» (туман) вытянутостью индикатрисы рассеяния  $g(\varphi)$  ( $\varphi$  — угол рассеяния). Так, для дымки  $H$   $\gamma_H = g_H(0)/g_H(\pi) \approx 143$  и коэффициента симметрии  $\eta_H \approx 22,7$ , для облачной модели  $\gamma_0 \approx 4480$ ,  $\eta_0 \approx 28,4$  и для модели тумана эти характеристики принимали значения  $\gamma_T \approx 202778$ ,  $\eta_T \approx 32$ .

Далее рассмотрим свойства импульсных характеристик  $h(r)$ .

Первое свойство импульсных реакций  $h(r)$  для схем наблюдения, изображенных на рис. 1, состоит в том, что

$$F(l) = 2\pi \int_0^{\infty} r h(r, l) dr = F_0 = \text{const}, \quad (1)$$

т.е. полный боковой подсвет, который создается светящейся (отражающей) однородной поверхностью, не зависит от положения слоя на трассе наблюдения. Этот вывод следует также из работы [5]. Он становится очевидным, если для определения  $h(r)$  воспользоваться следствием теоремы оптической взаимности [6, с. 291], которое утверждает, что ФРТ эквивалентна распределению освещенности, создаваемой в плоскости предметов мононаправленным источником, помещенным в точку расположения приемника в прямой схеме наблюдения.

Второе свойство  $h(r)$  может быть сформулировано следующим образом:

$$h(r, l) = h(0, l)h(\varphi), \quad (2)$$

где  $\varphi = \arctg(r/(l + \Delta l/2))$ . То есть для любых произвольных значений  $l_1, l_2$

$$\frac{h(r, l_1)}{h(r, l_2)} = \frac{h(0, l_1)}{h(0, l_2)}.$$

На рис. 2 приведены функции  $h(\varphi)$ , рассчитанные нами методом Монте-Карло для  $t = 1/L = 0,05$ ;  $0,5$ ;  $0,9$  при  $\tau = 1$  (кривая 1),  $\tau = 6$  (2) и  $\tau = 12$  (3). Для среды со слабо выраженной вытянутостью индикатрисы рассеяния (дымка  $H$ ) функции размытия точки изображены на рис. 2, а, для облачной среды — на рис. 2, б и для модели среды с сильней вытянутостью индикатрисы рассеяния (туман) на рис. 2, в. Расчеты показали, что в пределах их точности, характеризуемой среднеквадратическим отклонением результатов  $\varepsilon \lesssim 1\%$  при  $\varphi \rightarrow 1^\circ$  и  $\varepsilon \lesssim 10 \div 20\%$  при  $\varphi \rightarrow 90^\circ$ , функции  $h(\varphi)$ , найденные для различных значений параметра  $t$ , совпадают.

Свойства (1)–(2) могут стать основой методики измерения импульсных переходных характеристик каналов видения, которая сводится к следующему.

Предположим, что существует интервал значений  $[0, l_1]$  (рис. 1), где удается выполнить измерение характеристик  $h(r, l)$  во всем диапазоне  $[0, R]$ , где  $h(r, l) \neq 0$ . В этом случае можно ограничиться измерением  $h(r, l)$  для одного (любого) значения  $\tilde{l} \in [0, l_1]$  и определить функцию  $h(\varphi)$ . При любом другом  $\hat{l}$  характеристика  $h(r, l)$  может быть построена на основе (2) с помощью найденной функции  $h(\varphi)$  и до-

полнительного измерения  $h(0, \hat{l})$ . Свойством (1) можно воспользоваться для контроля точности восстановления характеристики  $h(r, \hat{l})$ .

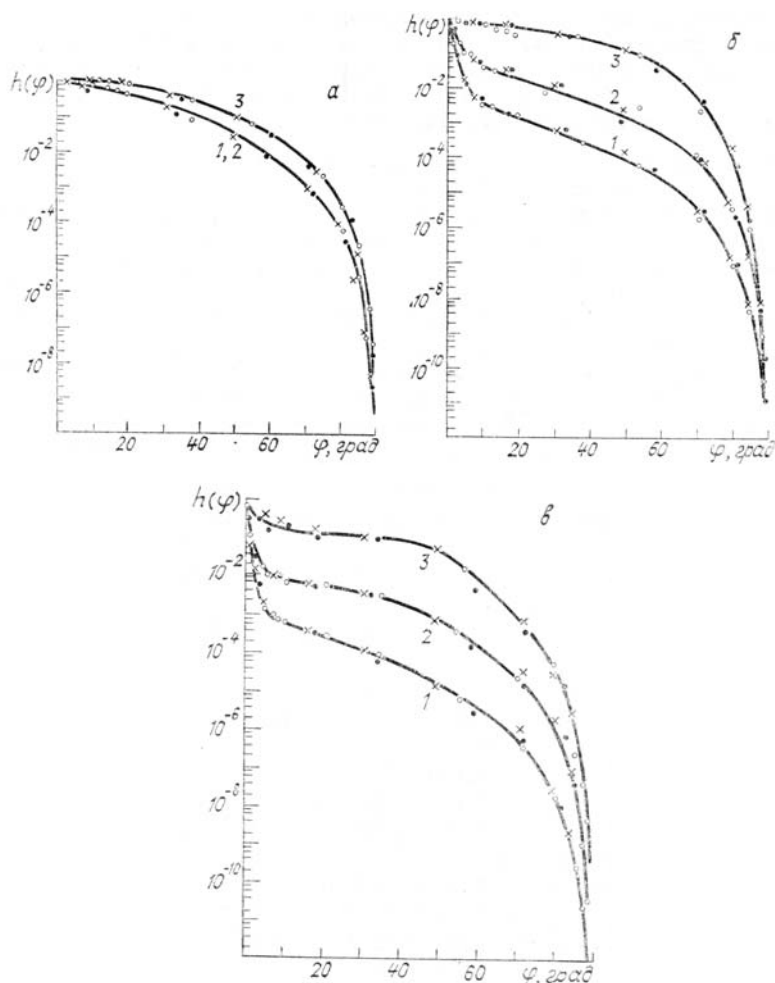


Рис. 2. Влияние геометрических условий наблюдения, оптической толщины и модели рассеивающих свойств на функцию  $h(\varphi)$ : а – дымка Н, б – облако С.1, в – радиационный туман. Параметр  $t$ :  $-\circ-$   $t = 0,05$ ,  $-\times-$   $t = 0,5$ ,  $-\cdot-$   $t = 0,9$

Рассмотренный случай не исчерпывает всех возможных особенностей измерения импульсных характеристик систем видения в лабораторных условиях. Так, при работе со средами, помещенными в стеклянную кювету, отражение и переотражение от ее стенок приводит к тому, что функцию  $h(r, l)$  с контролируемой точностью (без проведения специальных и достаточно сложных экспериментов) удастся измерить только при  $r \leq R_1 < R$  ( $\varphi \leq \varphi_0 < \pi/2$ ).

Для мутных сред, близких по рассеивающим свойствам к атмосферным образованиям типа дымок, туманов, облаков (т.е. при значениях параметров  $\gamma$  и  $\eta$ , лежащих в интервалах  $150 \div 200000$  и  $28 \div 32$ ), при длинах волн излучения видимого диапазона, вероятностях выживания кванта  $\Lambda \rightarrow 1$  и оптических толщинах сред  $0,5 \lesssim \tau \lesssim 12$  проблема доопределения функций  $h(\varphi)$  при  $\varphi \gtrsim 15^\circ$  может быть решена с использованием полученных нами аппроксимаций функций  $h(\varphi)$ . На рис. 3 приведены результаты оценивания методом Монте-Карло импульсных реакций  $h(\varphi)$  при  $\varphi \gtrsim 15^\circ$ ,  $\lambda = 0,53$  мкм для  $\tau = 1$  (кривая 1) и  $\tau = 6$  (при этом истинные значения  $h(\varphi; \tau = 6) = \hat{h}(\varphi) \cdot 10^2$ , где  $\hat{h}(\varphi)$  – кривая 2). Значками на рис. 3 обозначены модели рассеивающих сред, для которых выполнены расчеты; функции  $h(\varphi)$  нормированы на их значения при  $\varphi = 15^\circ$ . Рис. 3 убеждает, что в пределах точности расчетов и графического представления результатов крылья функций  $h(\varphi)$  слабо зависят от модели рассеивающей среды, если фиксированы длина волны излучения, вероятность выживания кванта и оптическая толщина среды.

$\text{Lg}h(\varphi)$  ( $15^\circ \lesssim \varphi \lesssim 80^\circ$ ) можно аппроксимировать функцией

$$f(\varphi) = -a(\varphi - \varphi_0)^2, \quad (3)$$

где  $\varphi_0 = 15^\circ$ . В таблице приведены коэффициенты аппроксимации  $\bar{a}$ , найденные методом наименьших квадратов и усредненные по трем рассмотренным моделям рассеивающих сред. Там же приведены значения ошибок квадратичной аппроксимации (3)

$$\varepsilon = \sum_i (h(\varphi_i) - f(\varphi_i))^2$$

для среды типа дымки  $H$ .

Таблица

Значения коэффициентов аппроксимации  $\bar{a}$  ( $\tau$ ) и ошибок  $\varepsilon(\tau)$

$\tau$	0,005	0,5	1,0	3,0	6,0	12,0
$\bar{a}$	3,30	3,25	3,19	2,87	2,74	2,30
$\varepsilon$	0,15	0,14	0,16	0,13	0,15	0,21

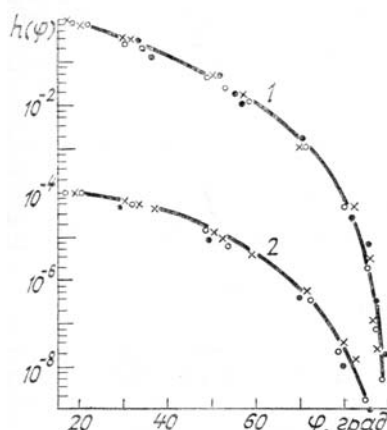


Рис. 3. Крылья функций  $h(\varphi)$  при  $\varphi > \varphi_0 = 15^\circ$  для  $\tau = 1$  (кривая 1),  $\tau = 6$  (истинные значения  $h(\varphi, \tau = 6) = \hat{h}(\varphi, \tau = 6) \times 10^2$ , где  $\hat{h}(\varphi, \tau = 6)$  — кривая 2. Обозначения:  $\circ$  — дымка  $H$ ,  $\dots$  — облако С.1,  $\times$  — радиационный туман

Причину слабой зависимости функций  $h(\varphi)$  ( $15^\circ \lesssim \varphi \lesssim 80^\circ$ ) от рассеивающих свойств модельных сред поясняет рис. 4, где приведены фрагменты использованных в расчетах индикатрис рассеяния  $\tilde{g}(\varphi = g(\varphi)/g(\varphi_0 = 15^\circ))$ . В то время как параметры  $\gamma$  и  $\eta$ , характеризующие степень вытянутости индикатрис рассеяния, изменяются при переходе от дымки  $H$  к туману в 1500 и 1,5 раза соответственно, относительная угловая зависимость коэффициента направленного светорассеяния в этом диапазоне углов рассеяния меняется незначительно.

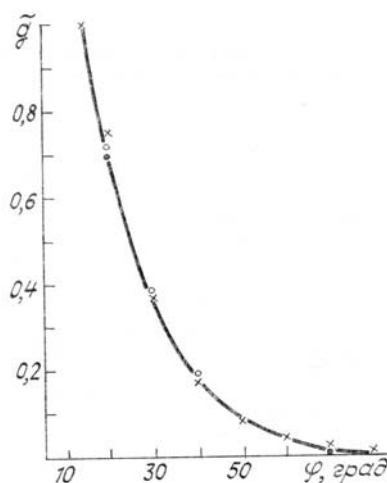


Рис. 4. Индикатрисы рассеяния  $\tilde{g}(\varphi) = g(\varphi)/g(\varphi_0)$  для трех моделей рассеивающих сред. Обозначения те же, что и на рис. 3

Рассмотрим влияние аппроксимации (3) на точность определения ОПФ и сравним возникающую при этом ошибку с ошибкой «усечения» [2]. С этой целью были найдены оптические передаточные функции  $K(\omega)$  по «усеченным»  $h(\varphi)$  ( $0^\circ \leq \varphi \leq 15^\circ$ ), дополненным в области  $15^\circ \leq \varphi \leq 80^\circ$  функцией (3) и найденным методом Монте-Карло во всем диапазоне изменения угла  $\varphi$ . Пример этих функций приведен на рис. 5. Будем характеризовать ошибку вычислений  $K(\omega)$  величиной

$$\delta = \frac{K(\omega) - \tilde{K}(\omega)}{K(\omega)} 100\%,$$

где  $K(\omega)$  — значения ОПФ, найденные по «усеченным» ФРТ или доопределенным в области  $15^\circ \leq \varphi \leq 80^\circ$  функцией  $f(\varphi)$  (3). Расчеты  $\delta = \delta(\tau)$  для всех рассмотренных сред и оптических толщин  $0,005 \leq \tau \leq 12$  показали, что почти во всех случаях использование аппроксимации (3) приводит к заметному уменьшению ошибок вычисления  $K(\omega)$  по крайней мере для тех  $\omega \in [0, \omega^*]$ , где  $K(0)/K(\omega^*) \leq 10 \div 20$ .

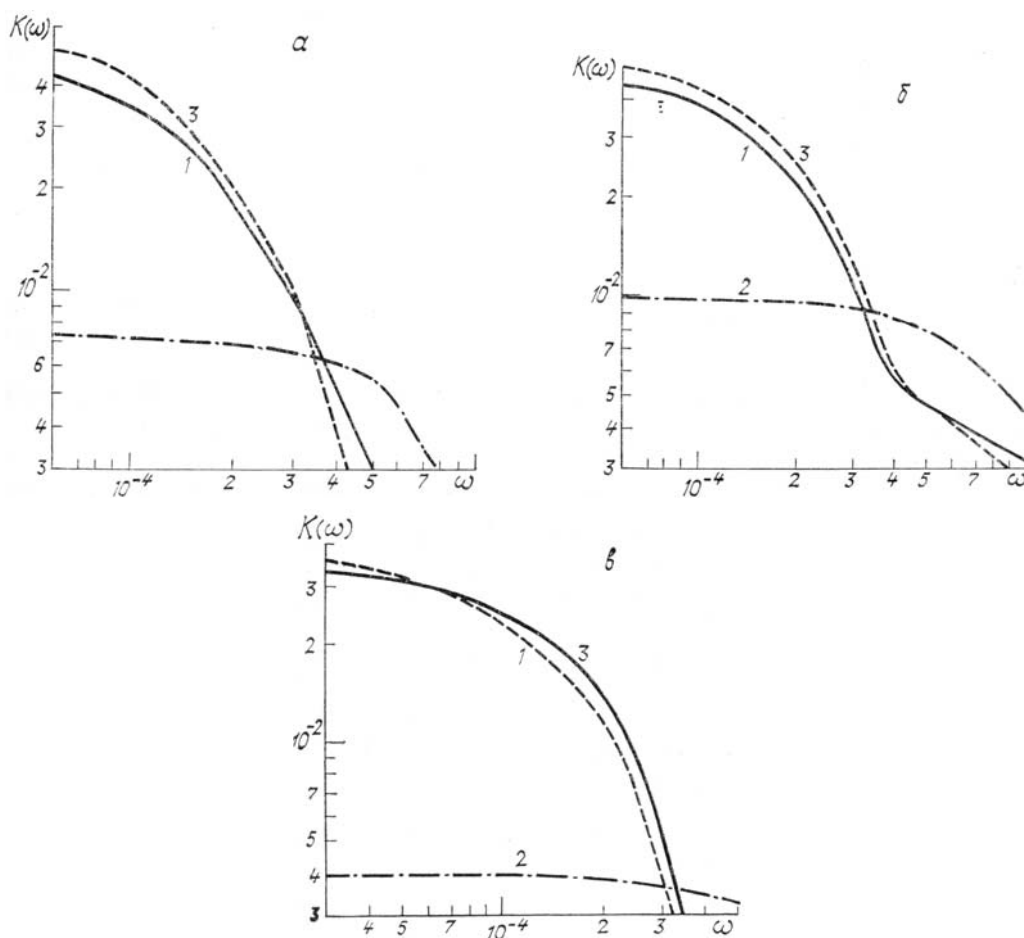


Рис. 5. Фрагменты ОПФ, соответствующих точным  $h(\varphi)$  (кривые 1), «усеченным» (кривые 2) и доопределенным функцией (3) при  $15^\circ \leq \varphi \leq 80^\circ$  (кривая 3). (а) — дымка  $H$ ,  $\tau = 3$ ,  $t = 0,9$ ; (б) — туман,  $\tau = 6$ ,  $t = 0,9$ ; (в) — облако  $C.1$ ,  $\tau = 12$ ,  $t = 0,9$

На рис. 6 приведены средние в диапазоне  $[0, \omega^*]$  значения ошибок  $\bar{\delta}(\tau)$  определения  $K(\omega)$  по «усеченным» (кривые 1', 2') и доопределенным импульсным реакциям при  $15^\circ \leq \varphi \leq 80^\circ$  функциями (3) (кривые 1, 2). Сравнение кривых 1, 2 и 1', 2' показывает, что использование аппроксимации (3) позволяет уменьшить ошибку вычисления  $K(\omega)$  более чем в 2–3 раза при  $\tau \approx 3 \div 4$  независимо от модели рассеивающей среды. Влияние вытянутости индикатрисы рассеяния на ошибки  $\bar{\delta}(r)$  становится более заметным при  $\tau \leq 1$ , где, очевидно, аппроксимация (3) с меньшей точностью соответствует функции  $h(\varphi)$ .

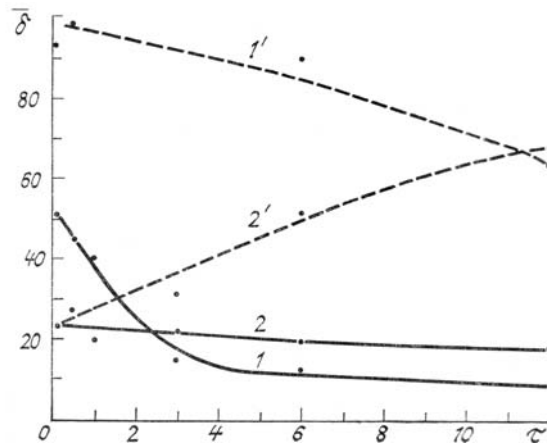


Рис. 6. Ошибки  $\bar{\delta}$  оценок  $K(\omega)$ , найденных по «усеченным»  $h(\varphi)$  (кривые 1', 2') и доопределенным функцией (3) при  $15^\circ \leq \varphi \leq 80^\circ$  (кривые 1, 2). Кривые 1, 1' соответствуют среде типа дымки H, кривые 2, 2' — туману

## Выводы

На основе свойств импульсных реакций линейных систем видения в схеме наблюдения через локализованный рассеивающий слой удастся построить методику их измерений, не требующую многократного повторения экспериментов при изменении положения слоя мутной среды на трассе наблюдения.

С помощью численных экспериментов установлена слабая зависимость крыльев функций размытия точки  $h(\varphi)$  от степени вытянутости индикатрисы рассеяния.

В диапазоне углов  $15^\circ \lesssim \varphi \lesssim 80^\circ$  найдена аппроксимация функции  $h(\varphi)$ , независящая от рассеивающих свойств рассмотренных модельных сред. Показано, что ее использование для доопределения «усеченных» функций размытия точки приводит к существенно меньшим ошибкам при расчете оптических передаточных функций систем видения.

1. Зуев В.Е., Белов В.В., Борисов Б. Д. и др. // ДАН СССР. 1982. Т. 268. № 2. С. 321–324.
2. Волнистова Л.П., Дрофа А.С. // Изв. АН СССР. ФАО. 1985. Т. 21. № 1. С. 50–57.
3. Белов В.В. // Изв. АН СССР. ФАО. 1982. Т. 18. № 4. С. 435–437.
4. Thomas R. W. L. // Adv. Space Res. 1983. V. 2. № 5. P. 157–166.
5. Дрофа А.С. // Изв. АН СССР. ФАО. 1984. Т. 20. № 10. С. 939–946.
6. Иванов А.П. Физические основы гидрооптики. Минск: Наука и техника. 1975. 503 с.

Институт оптики атмосферы  
СО АН СССР, Томск

Поступила в редакцию  
11 июля 1988 г.

V. V. Belov, I. Yu. Makushkina. **On Measurement Procedure for Pulse Responses of Linear Image Transfer Systems.**

Certain properties of pulse responses inherent in linear image transmission systems are estimated on the basis of the solution to the transfer equation using the Monte-Carlo method. The effect of the scattering characteristics of turbid media on the wings of the point spread function is examined. A one-parameter approximation for the pulse responses in the range of «large» argument values is proposed. An experimental procedure for measuring the point spread function and a way to reduce the cut-off error due to the incomplete determination of pulse responses are discussed.